

CAPÍTULO 8

RESPOSTA TRANSITÓRIA E ESTABILIDADE

8.1 - Introdução

Seja a estrutura simplificada de uma fonte chaveada, representada na Fig. 8.1.

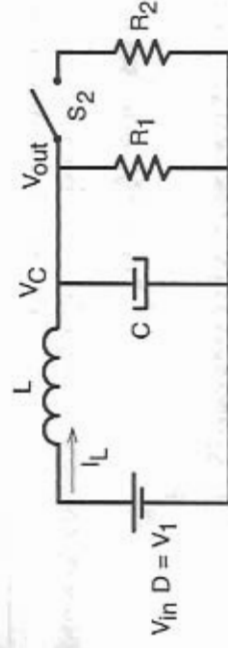


Fig. 8.1: Estrutura simplificada de uma fonte chaveada.

Seja o circuito operando inicialmente em regime permanente, com S_2 aberta; desse modo a carga é constituída pelo resistor R_1 .

Vamos imaginar que num instante t_0 a chave S_2 seja fechada, colocando R_2 em paralelo com R_1 , provocando subitamente uma redução na resistência de carga.

Vamos imaginar o valor de L suficientemente grande para impedir um variação no valor de I_L nos primeiros instantes após o fechamento da chave S_2 .

Desse modo o circuito pode ser representado pela Fig. 8.2.

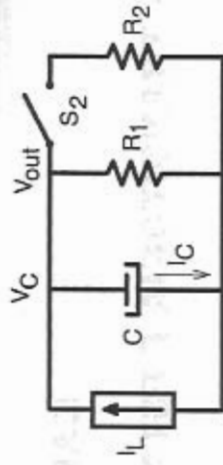


Fig. 8.2: Circuito equivalente para t_0 .

$$\text{Seja: } R = \frac{R_1 R_2}{R_1 + R_2} \quad (8.1)$$

$$\text{Antes do transitório } V_{C0} = R_1 I_L \quad (8.2)$$

$$\text{Após o transitório } V_{CF} = R I_L \quad (8.3)$$

O transitório é representado pela expressão (8.4).

$$V_C = I_L [R_1 e^{-t/RC} + R(1 - e^{-t/RC})] \quad (8.4)$$

A evolução da tensão V_C está representada na Fig. 8.3.

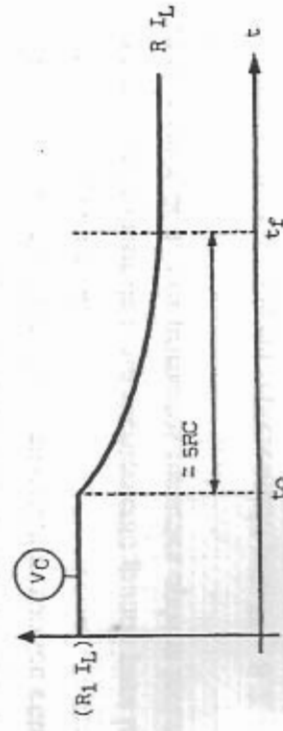


Fig. 8.3: Tensão nos terminais do capacitor de filtragem.

Consideremos a corrente no capacitor durante o transitório.

$$i_C = -\frac{V_{C0}}{R_2} e^{-t/RC} \quad (8.5)$$

Assim:

$$i_C = -\frac{R_1}{R_2} I_L e^{-t/RC} \quad (8.6)$$

A forma da corrente i_C está representada na Fig. 8.4.

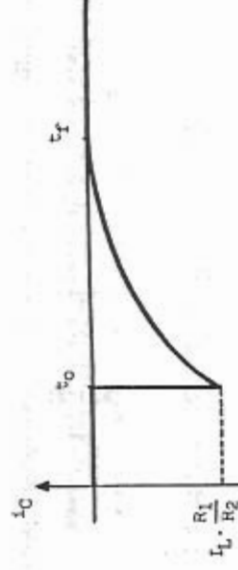


Fig. 8.4: Corrente do capacitor durante o transitório.

A análise apresentada é rigorosa se o capacitor for ideal. Seja o caso em que o capacitor tenha uma RSE (Resistência Série Equivalente). O circuito passa então a ser representado pela Fig. 8.5.

Assim, durante o transitório, a tensão V_{out} será dada pela relação 8.7.

(8.7)

$$V_{out} = V_C + V_{RSE}$$

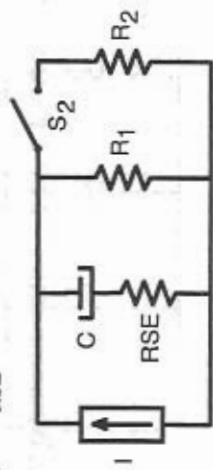


Fig. 8.5: Circuito com RSE incluída.

(8.8)

$$V_{RSE} = RSE i_C = -RSE \frac{R_1}{R_2} I_L e^{-t/RC}$$

Assim:

(8.9)

$$V_{out} = I_L \left[R + (R_1 - R) e^{-t/RC} \right] - RSE \frac{R_1}{R_2} I_L e^{-t/RC}$$

As duas componentes estão representadas na Fig. 8.6.

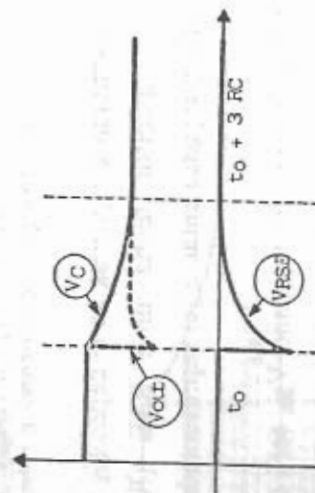


Fig. 8.6: Tensões envolvidas durante o transitório.

Fica evidenciado que a RSE causa uma “redução súbita” de tensão de saída; do mesmo modo, uma redução de carga provocaria uma “elevação súbita” da referida tensão.

Os objetivos básicos da análise do comportamento transitório de uma fonte chaveada são:

- Estabelecer o desvio que sofre a tensão de saída diante de uma variação da carga;
- Estabelecer o tempo de recuperação, ou seja, o tempo necessário para que a tensão de saída retorne ao valor existente antes da perturbação.

No exemplo discutido, para que a tensão se restabeleça, a corrente I_L deve ser aumentada. Essa ação é realizada pelo controlador de tensão, segundo a estrutura simplificada mostrada na Fig. 8.7.

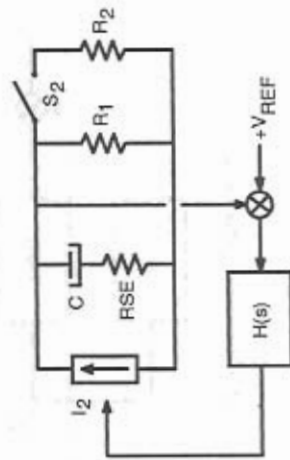


Fig. 8.7: Fonte com controlador da tensão de saída.

Uma ação rápida do regulador diminui o tempo de recuperação; por outro lado, uma ação excessivamente rápida pode provocar oscilações.

Desse modo, podemos estabelecer as seguintes regras, neste estágio da reflexão:

- A amplitude do desvio de tensão depende somente da RSE do capacitor;
- A natureza da resposta (tipo de amortecimento e tempo de recuperação) depende somente do tipo de controlador empregado.

8.2 - Equação característica e função de transferência

Uma fonte chaveada é um sistema em malha fechada, ou seja, com realimentação.

A estrutura em blocos de um sistema realimentado está representada na Fig. 8.8.

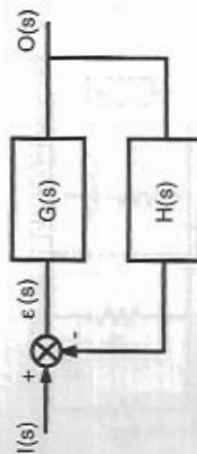


Fig. 8.8: Sistema realimentado.

Sejam as relações:

$$O(s) = G(s)\varepsilon(s) \quad (8.10)$$

$$\varepsilon(s) = I(s) - H(s)O(s) \quad (8.11)$$

Assim:

$$O(s) = G(s)[I(s) - H(s)O(s)] \quad (8.12)$$

$$O(s)[1 + G(s)H(s)] = G(s)I(s) \quad (8.13)$$

Desse modo:

$$\frac{O(s)}{I(s)} = \frac{G(s)}{1 + G(s)H(s)} = F(s) \quad (8.14)$$

- $O(s)$ - grandeza de saída;
 $I(s)$ - grandeza de entrada;
 $G(s)$ - função de transferência em malha aberta;
 $H(s)G(s)$ - função de transferência de laço aberto;
 $\frac{O(s)}{I(s)}$ - função de transferência em malha fechada.

Qualquer função de transferência pode ser arranjada de modo representado pela expressão (8.15).

$$F(s) = \frac{(1 + s\tau_1)(1 + s\tau_2) + \dots + (1 + s\tau_n)}{(1 + s\tau_a)(1 + s\tau_b) + \dots + (1 + s\tau_m)} \quad (8.15)$$

onde:

$$\frac{1}{\tau_1}, \frac{1}{\tau_2}, \dots, \frac{1}{\tau_n}, \text{ são zeros da função transferência em malha fechada.}$$

$$\frac{1}{\tau_a}, \frac{1}{\tau_b}, \dots, \frac{1}{\tau_m}$$

são pólos da função de transferência em malha fechada.

De uma maneira simplificada, pode-se definir como instável o sistema cuja saída tende para infinito quando excitado. Desse modo, para que $O(s)$ cresça indefinidamente, é necessário que o denominador da função de transferência em malha fechada se anule; tal caso é representado pela expressão (8.16).

$$1 + G(s)H(s) = 0 \quad (8.16)$$

A equação (8.16) é conhecida como a equação característica do sistema.

8.3 - Exemplos de obtenção de função-transferência

Seja o circuito representado na Fig. 8.9.

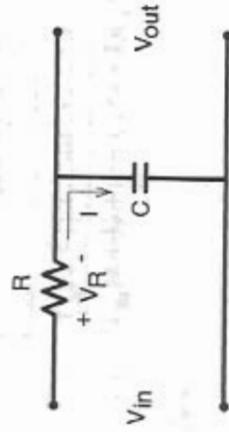


Fig. 8.9: Circuito integrador.

Assim:

$$I(s) = \frac{V_{in}(s)}{R + 1/sC} \quad (8.17)$$

$$V_{out}(s) = \frac{I(s)}{sC} \quad (8.18)$$

Assim:

$$V_{out}(s) = \frac{V_{in}(s)}{sC(R + 1/sC)} \quad (8.19)$$

Assim:

$$\frac{V_{out}(s)}{V_{in}(s)} = \frac{1}{1 + sCR} \quad (8.20)$$

Pode-se ainda obter a função de transferência escrevendo primeiro a equação diferencial que representa os sistema. No circuito em questão obtém-se:

$$V_{in} = V_R + V_C \quad (8.21)$$

$$V_C = \frac{1}{C} \int i dt \quad e \quad V_R = R i \quad (8.22)$$

$$\text{Seja } q = \int i dt \quad (8.23)$$

Assim:

$$V_C = \frac{q}{C} \quad (8.24)$$

$$V_R = R \frac{dq}{dt} \quad (8.25)$$

Assim:

$$V_{in} = R \frac{dq}{dt} + \frac{q}{C} \quad (8.26)$$

Portanto:

$$V_{in} = RC \frac{dV_C}{dt} + V_C \quad (8.27)$$

Aplicando a transformada de Laplace termo a termo:

$$V_{in}(s) = RCs V_C(s) + V_C(s) \quad (8.28)$$

ou

$$\boxed{\frac{V_C(s)}{V_{in}(s)} = \frac{V_{out}(s)}{V_{in}(s)} = \frac{1}{1 + sCR}} \quad (8.29)$$

8.4 - Diagrama de Bode

Seja a função de transferência representada pela expressão (8.30).

$$\frac{V_{out}(s)}{V_{in}(s)} = \frac{1}{1 + sCR} \quad (8.30)$$

$$\text{Tomando } s = j\omega \quad (8.31)$$

obtem-se:

$$\frac{V_{out}(j\omega)}{V_{in}(j\omega)} = G(j\omega) = \frac{1}{1 + j\omega CR} \quad (8.32)$$

Assim:

$$|G(j\omega)| = \frac{1}{(1 + \omega^2 C^2 R^2)^{1/2}} \quad (8.33)$$

Seja:

$$GdB = 20 \log |G(j\omega)| \quad (8.34)$$

GdB é o ganho da função transferência em decibéis.

Assim:

$$G(\omega)dB = 20 \log \frac{1}{(1 + \omega^2 C^2 R^2)^{1/2}} \quad (8.35)$$

$$G(\omega)dB = -20 \log(1 + \omega^2 C^2 R^2)^{1/2} \quad (8.36)$$

$$\text{Para } \omega \rightarrow 0 \Rightarrow G(0)dB = -20 \log \sqrt{1} = 0 \quad (8.37)$$

Para ω muito grande tem-se:

$$GdB(\infty) = -20 \log(\omega CR) \quad (8.38)$$

Sejam os seguintes valores de ω :

$$a) \omega = \frac{1}{CR} = \frac{1}{\tau} \quad (8.39)$$

$$G\left(\frac{1}{\tau}\right)_{dB} = -20 \log 1 = 0 \quad (8.40)$$

$$b) \omega = \frac{10}{CR} = \frac{10}{\tau} \quad (8.41)$$

$$G\left(\frac{10}{\tau}\right)_{dB} = -20 \log 10 = -20dB \quad (8.42)$$

Representando os pontos calculados em escala logarítmica, obtém-se a curva representada na Fig. 8.10.

A frequência no ponto $\frac{1}{RC}$ é chamada de frequência de corte. Constata-se que a curva de ganho possui uma inclinação de 20dB/década, que é uma característica de um sistema de 1ª ordem.

Tomando-se o denominador da expressão (8.30) e igualando-se a zero, obtém-se a expressão (8.43):

$$1 + sCR = 0 \quad (8.43)$$

Assim:

$$s = -\frac{1}{RC} \quad (8.44)$$

Sendo s um pólo da função transferência.

Assim, constata-se que um pólo causa uma transição na inclinação na curva de ganho de -20 dB/década.

É interessante também a obtenção da curva de fase em função da frequência. Considerando a expressão (8.32)

$$a) \text{ para } \omega = \frac{0,1}{RC} \Rightarrow G(j\omega) = \frac{1}{1 + j0,1} \Rightarrow \phi \equiv 0$$

$$b) \text{ para } \omega = \frac{10}{RC} \Rightarrow G(j\omega) = \frac{1}{1 + j100} \Rightarrow \phi \equiv -90^\circ$$

$$c) \text{ para } \omega = \frac{1}{RC} \Rightarrow G(j\omega) = \frac{1}{1 + j1} \Rightarrow \phi \equiv -45^\circ$$

Com os três ângulos, traça-se a curva de fase em função da frequência, como aparece na Fig. 8.10.

Constata-se que um pólo causa uma transição no ângulo de fase de -45°/década, com uma década acima e abaixo da frequência de transição f_p , provocando uma defasagem total de -90°.

Como regra geral, para o traçado do diagrama de bode, pode-se estabelecer o seguinte:

- Um pólo causa uma transição de -20dB/década enquanto um zero causa uma transição de $+20\text{dB/década}$ na curva de ganho;
- Um pólo causa uma transição de $-45^\circ/\text{década}$ enquanto um zero causa uma transição de $+45^\circ/\text{década}$ na frequência de transição.

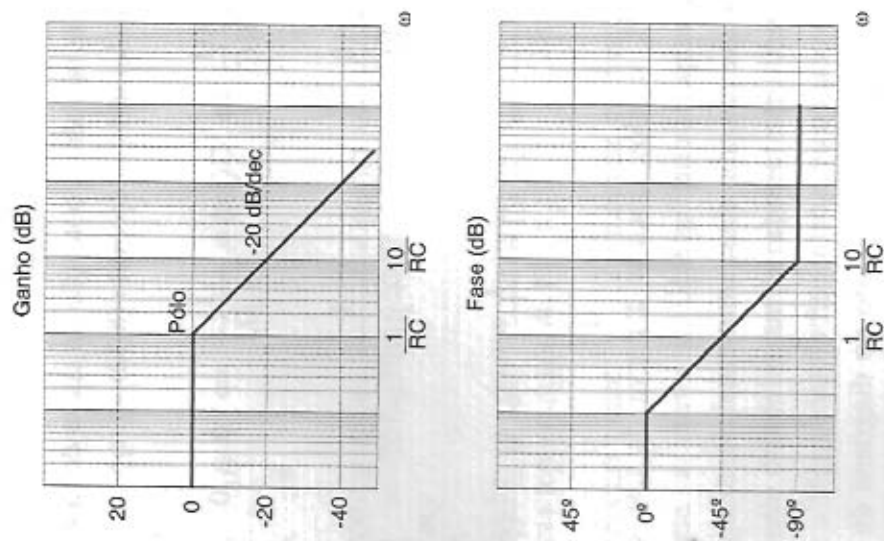


Fig. 8.10: Diagrama de Bode para um sistema de 1ª ordem.

8.5 - Exemplo

Seja a função de transferência representada pela expressão (8.45)

$$F(s) = 20 \left(\frac{1 + sR_E C}{1 + sR_O C} \right) \quad (8.45)$$

A função contém um pólo e um zero nas seguintes frequências:

$$\omega_Z = \frac{1}{R_E C} \quad (8.46)$$

$$\omega_P = \frac{1}{R_O C} \quad (8.47)$$

Assim:

$$f_Z = \frac{1}{2\pi R_E C} \quad (8.48)$$

$$f_P = \frac{1}{2\pi R_O C} \quad (8.49)$$

Sejam valores de R_O , R_E e C de modo que:

$$f_Z = 1590\text{Hz} \text{ e } f_P = 6,63\text{Hz}$$

Para $f = 0$ o ganho em dB é dado pela relação:

$$|G(0)|_{dB} = 20 \log 20 = 20 \cdot 1,30 = 26 \text{ dB}$$

Com essas informações pode ser traçada a curva de módulo como está representada na Fig. 8.11, juntamente com a curva de fase.

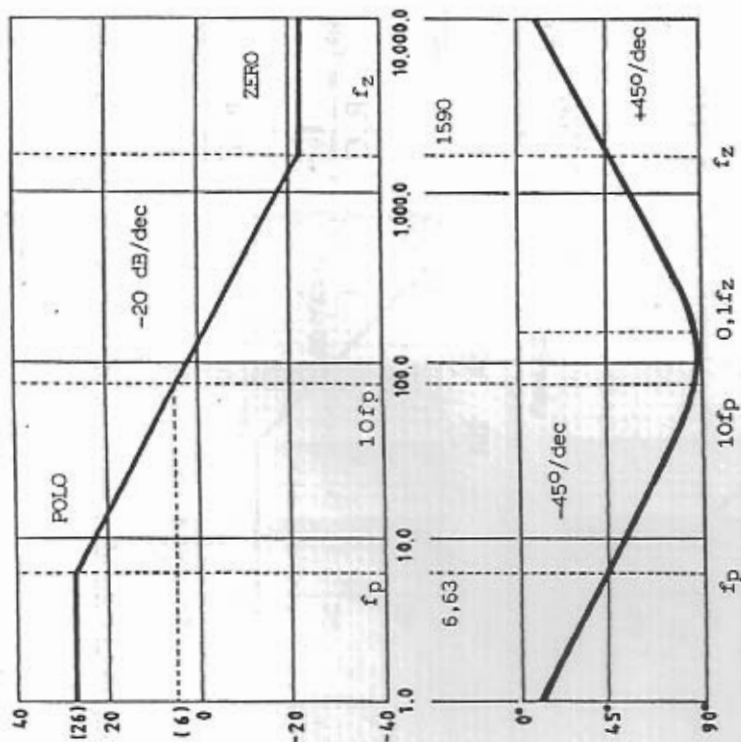


Fig. 8.11: Diagrama de Bode para a função representada pela expressão (8.45).

8.6 - Critérios de estabilidade

Seja a expressão (8.50) que representa a equação característica de um sistema realimentado.

$$1 + G(s)H(s) = 0 \quad (8.50)$$

Desse modo, o sistema torna-se instável quando:

$$G(s)H(s) = -1 \quad (8.51)$$

Assim:

$$G(\omega)_{dB} = 20 \log G(s)H(s) = 0 \quad (8.52)$$

$$\phi = -180^\circ \quad (8.53)$$

Ou seja, o sistema torna-se instável quando para um ganho de 0 dB o ângulo de fase é igual a -180° ; desse modo o sistema será estável se na frequência em que o ganho torna-se igual a 0 dB, o ângulo de fase é maior que -180° .

É importante reforçar o fato de que não se analisa a função de transferência total do sistema, mas sim a função de transferência de laço aberto, $G(s)H(s)$.

O ângulo da fase para frequências maiores pode ser menor que -180° , sem que isto comprometa a estabilidade.

Seja a Fig. 8.12, onde está representado o Diagrama de Bode de um sistema estável.

Se o ângulo estiver próximo de -180° , o sistema continua estável, mas exibirá *overshoot* e oscilações, o que é indesejável. A margem de fase é definida pela expressão (8.54).

$$MF = 180 - \phi \quad (8.54)$$

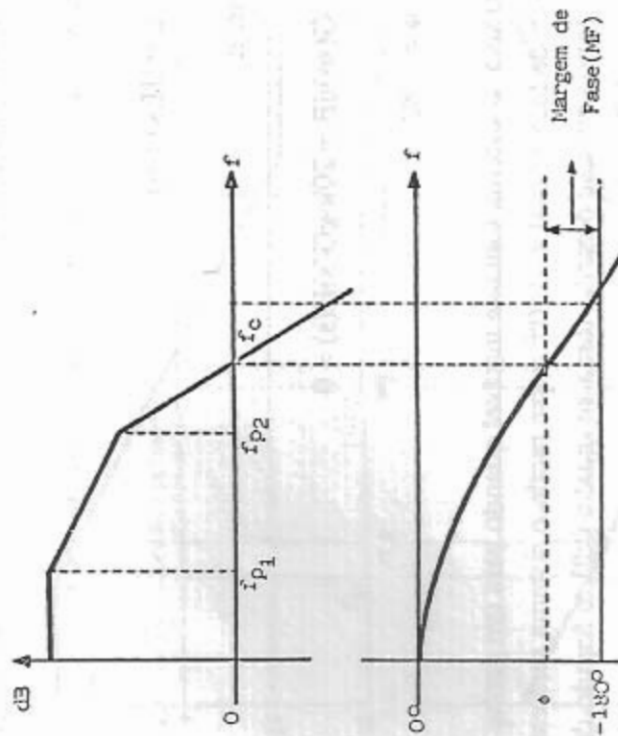


Fig. 8.12: Diagrama de Bode de um sistema estável.

Em fontes chaveadas procura-se manter a margem de fase entre 45° e 90° .

Como procedimento simplificado para garantir a estabilidade, a inclinação do ganho de $G(s)H(s)$ para f_c será igual a -20dB/década . Ainda na Fig. 8.12 pode-se definir:

- f_{p1} - frequência para a qual ocorre uma transição (1 pólo);
- f_{p2} - frequência para a qual ocorre a segunda transição (1 pólo);
- f_c - frequência de cruzamento.

Para que uma fonte apresente erros estáticos muito pequenos com a variação da resistência de carga ou da tensão de entrada, o ganho da função $G(s)H(s)$ em baixas frequências deve ser o maior possível.

Normalmente adota-se um pólo na origem. Assim, para $f \rightarrow 0$ o ganho tende a um valor muito alto, reduzindo o erro estático a valores próximos de zero.

Para que a fonte tenha uma resposta rápida, deve-se tomar f_c com o valor mais alto possível. Quando f_c se aproxima muito de f_s (frequência de comutação) a fonte não pode mais ser tratada como sistema contínuo. A teoria de sistemas amostrados demonstra que $f_c \equiv f_s/4$. Esta relação sugere que quanto maior a frequência f_s de comutação da fonte, mais alta poderá ser a frequência de cruzamento e, portanto, mais rápida poderá ser a resposta da fonte quando perturbada.

8.7 - Representação das Fontes Chaveadas

a) Fonte do tipo *Forward*

Seja o circuito representado na Fig. 8.13.

$$V_{2md} = V_{ST}D = V_{in} \frac{N_s D}{N_p} \quad (8.55)$$

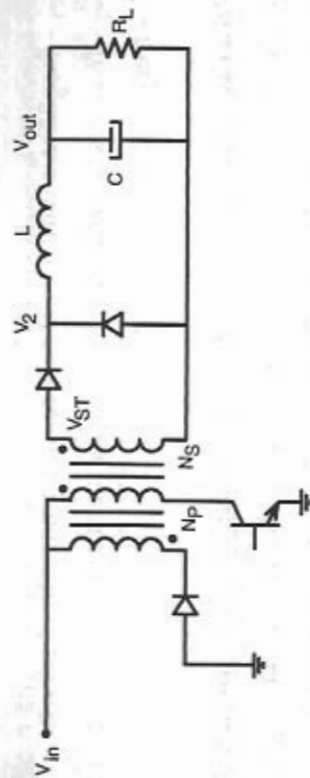


Fig. 8.13: Fonte Forward

Seja a Fig. 8.14, onde aparecem os sinais de entrada do comparador do Integrado PWM.

$$D = \frac{T_1}{T} = \frac{V_C}{V_S} \quad (8.56)$$

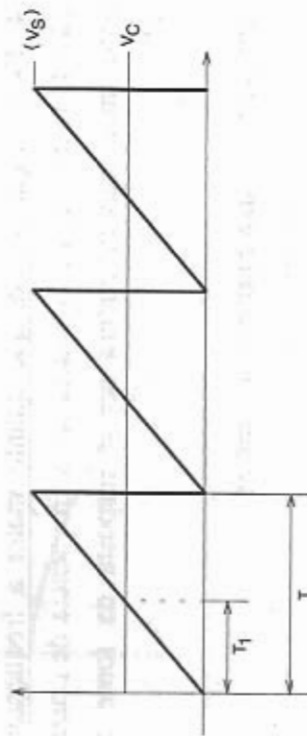


Fig. 8.14: Sinais para geração da razão cíclica.

para $0 \leq V_C \leq V_S$.

$$\text{Assim: } V_{2md} = V_{in} \frac{N_S}{N_P} \frac{V_C}{V_S} \quad (8.57)$$

ou

$$\frac{V_{2md}}{V_C} = \frac{V_{in}}{V_S} \frac{N_S}{N_P} \quad (8.58)$$

Na representação do filtro de saída a resistência de carga será considerada muito alta. Assim:

$$\frac{V_{out}(s)}{V_{2md}(s)} = \frac{1}{s^2 LC + 1} \quad (8.59)$$

$$\text{Seja } \omega_o = \frac{1}{\sqrt{LC}} \quad (8.60)$$

$$\frac{V_{out}(s)}{V_{2md}(s)} = \frac{1}{\left(\frac{s^2}{\omega_o^2} + 1\right)} \quad (8.61)$$

$$\frac{V_{out}(j\omega)}{V_{2md}(j\omega)} = \frac{1}{\left(\frac{j\omega}{\omega_o}\right)^2 + 1} \quad (8.62)$$

$$|G(\omega)|_{dB} = -20 \log \sqrt{1 + (\omega/\omega_o)^4} \quad (8.63)$$

$$\text{Para } \omega \rightarrow 0 \Rightarrow |G(\omega)|_{dB} = 0$$

$$\text{Para } \omega \rightarrow \infty \Rightarrow |G(\omega)|_{\text{dB}} = -20 \log \left(\frac{\omega}{\omega_0} \right)^2 = -40 \log \left(\frac{\omega}{\omega_0} \right) \quad (8.64)$$

Assim, para $\frac{\omega}{\omega_0} = 1$, $|G(\omega)|_{\text{dB}} = 0 \text{ dB}$

Para $\frac{\omega}{\omega_0} = 10$, $|G(\omega)|_{\text{dB}} = -40 \text{ dB}$. Assim em $\omega = \omega_0$ há uma transição de -40 dB/dec. , o caracteriza dois pólos.

Multiplicando as expressões 8.61 e 8.58 obtém-se a expressão 8.65.

$$\frac{V_{\text{out}}(s)}{V_{2\text{md}}(s)} \frac{V_{2\text{md}}(s)}{V_C(s)} = \frac{V_{\text{out}}(s)}{V_C(s)} \quad (8.65)$$

Assim:

$$\boxed{\frac{V_{\text{out}}(s)}{V_C(s)} = \frac{V_{\text{in}}}{V_S} \frac{N_S}{N_P} \frac{1}{(s^2/\omega_0^2 + 1)}} \quad (8.66)$$

A expressão (8.66) representa a função de transferência da fonte Forward.

O diagrama de Bode correspondente está representado na Fig. 8.15.

Quando a RSE do capacitor de filtro é considerada, a função de transferência do filtro assume a forma apresentada pela expressão (8.67).

$$\frac{V_{\text{out}}(s)}{V_{2\text{md}}(s)} = \frac{(1 + sC \cdot \text{RSE})}{(1 + s^2/\omega_0^2)} \quad (8.67)$$

ou

$$\frac{V_{\text{out}}(s)}{V_{2\text{md}}(s)} = \frac{(1 + s/\omega_Z)}{(1 + s^2/\omega_0^2)} \quad (8.68)$$

Ocorre desse modo um zero na frequência f_Z dada pela relação 8.69:

$$f_Z = \frac{1}{2\pi C \cdot \text{RSE}} \quad (8.69)$$

Desse modo:

$$\frac{V_{\text{out}}(s)}{V_C(s)} = \frac{V_{\text{in}}}{V_S} \frac{N_S}{N_P} \frac{(1 + s/\omega_Z)}{(1 + s^2/\omega_0^2)} \quad (8.70)$$

Na Fig. 8.15 aparece a curva de ganho, com os dois pólos e o zero.

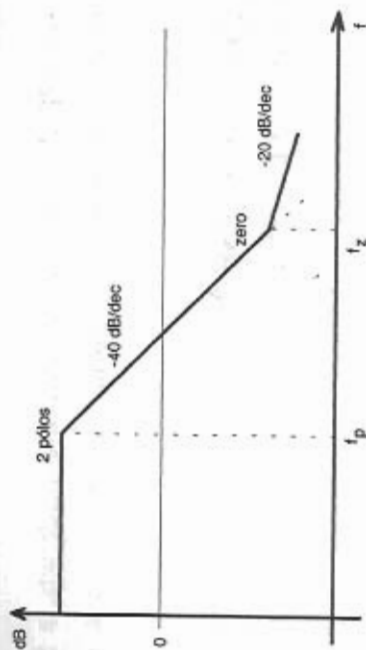


Fig. 8.15: Curva de ganho para o conversor Forward.

b) Fonte do tipo Flyback (condução descontinua)

Seja a estrutura representada na Fig. 8.16.

$$P_{2md} = R_2 I_{2md}^2 \tag{8.71}$$

$$P_{1md} = V_{in} I_{1md} = V_{in} \frac{I_p T_1}{2T} \tag{8.72}$$

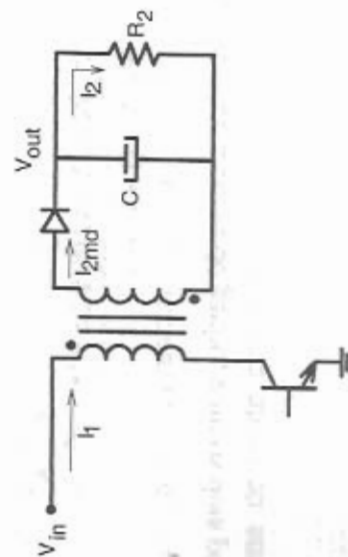


Fig. 8.16: Fonte Flyback.

$$\text{Assim: } P_{1md} = \frac{V_{in}^2 T_1^2}{2LT} \tag{8.73}$$

$$P_{2md} = P_{1md} \tag{8.74}$$

Assim:

$$R_2 I_{2md}^2 = \frac{V_{in}^2 T_1^2}{2LT} \tag{8.75}$$

Portanto:

$$I_{2md}^2 = \frac{V_{in}^2 T_1^2}{2LR_2 T^2} = \frac{V_{in}^2 T_1^2}{2LR_2 f T^2} \tag{8.76}$$

$$I_{2md} = \frac{V_{in}}{\sqrt{2LR_2 f}} D \tag{8.77}$$

Desse modo o estágio de saída da fonte Flyback em condução descontinua possa ser representado pela Fig. 8.17.

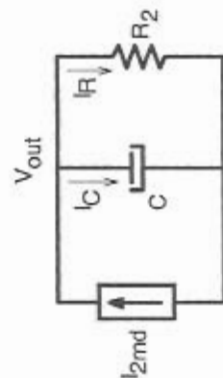


Fig. 8.17: Estágio de saída do conversor Flyback.

O circuito da Fig. 8.17 é representado pela equação diferencial representada pela expressão (8.78).

$$I_{2md} = C \frac{dV_{out}}{dt} + \frac{V_{out}}{R_2} \quad (8.78)$$

Assim:

$$\frac{V_{in}}{C\sqrt{2LR_2f}} D = \frac{dV_{out}}{dt} + \frac{V_{out}}{R_2C} \quad (8.79)$$

$$\text{Seja } D = \frac{V_C}{V_S} \quad (8.80)$$

$$A = \frac{V_{in}}{\sqrt{2LfR_2C}} \quad (8.81)$$

Assim:

$$\boxed{\frac{dV_{out}}{dt} + \frac{V_{out}}{R_2C} = A \frac{V_C}{V_S}} \quad (8.82)$$

Assim:

$$SV_{out}(s) + \frac{V_{out}(s)}{R_2C} = \frac{A}{V_S} V_C(s) \quad (8.83)$$

$$V_{out}(s)[sR_2C + 1] = \frac{AR_2C}{V_S} V_C(s) \quad (8.84)$$

$$\boxed{\frac{V_{out}(s)}{V_C(s)} = \frac{AR_2C}{V_S} \frac{1}{(1+sR_2C)}} \quad (8.85)$$

Assim:

$$G(s) = \frac{V_{in}R_2C}{V_S\sqrt{2LR_2fC}(1+sR_2C)} \quad (8.86)$$

$$\boxed{G(s) = \frac{V_{in}}{V_S\sqrt{\frac{2Lf}{R_2}}} \frac{1}{(1+sR_2C)}} \quad (8.87)$$

A expressão (8.87) representa a função de transferência da fonte *Flyback*.

Destacam-se duas características importantes:

- a) Trata-se de um sistema de 1ª ordem;
- b) O ganho estático depende da resistência de carga.

A exemplo da fonte *Forward*, a RSE do capacitor de filtragem introduz um zero na função $G(s)$ com ω_z dado pela expressão 8.88.

$$\omega_z = \frac{1}{RSE \cdot C} \quad (8.88)$$

Assim:

$$G(s) = \frac{V_{in}}{V_s \sqrt{R_2}} \frac{(1+sRSE \cdot C)}{(1+sR_2C)} \quad (8.89)$$

A função $G(s)$ está representada graficamente na Fig. 8.18.

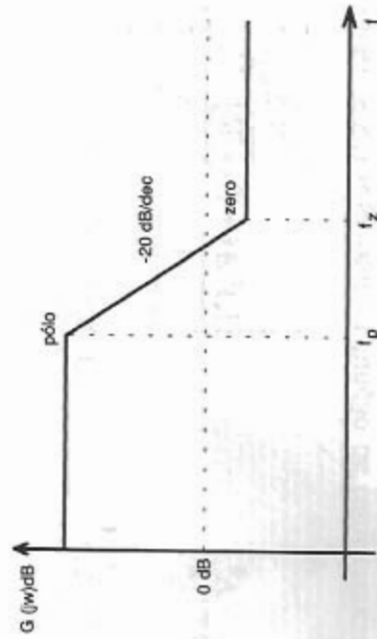


Fig. 8.18: Curva de ganho para o conversor Flyback.

8.8 - Circuitos de Compensação empregados com os amplificadores operacionais

a) Topologias de 1 pólo

Seja o circuito representado na Fig. 8.19.

$$\frac{V_C}{V_o} = \frac{Z_f}{Z_i} \quad (8.90)$$

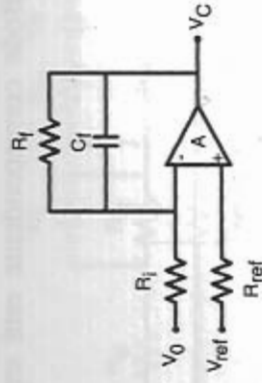


Fig. 8.19: Controlador de 1 pólo.

$$Z_i = R_i \quad (8.91)$$

$$Z_f = \frac{R_f / C_f s}{R_f + 1/C_f s} \quad (8.92)$$

Assim:

$$\frac{V_C(s)}{V_o(s)} = \frac{R_f}{C_f s(R_f + 1/C_f s)R_i} = \frac{R_f}{R_i} \frac{1}{(1+sC_f R_f)} \quad (8.93)$$

Assim, o ganho estático é dado pela relação (8.94) e a frequência de transição pela expressão (8.95).

$$G = \frac{R_f}{R_i} \quad (8.94)$$

$$f_p = \frac{1}{2\pi R_f C_f} \quad (8.95)$$

O diagrama de Bode correspondente está representado na Fig. 8.20.

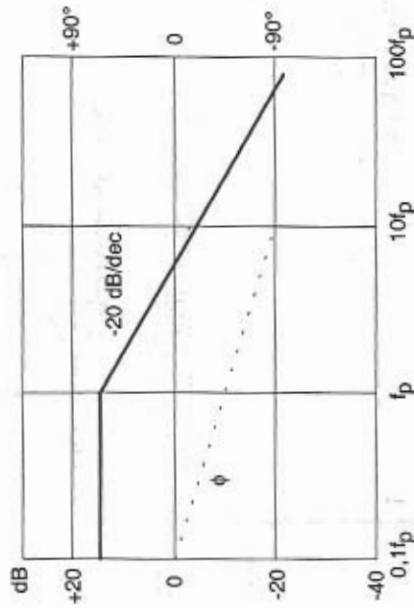


Fig. 8.20: Diagrama de Bode para o circuito de 1 pólo.

O compensador apresentado é recomendado para as fontes que contenham um filtro de saída de um pólo, como a *Flyback*.

R_{ref} é destinada a compensação de tensão de *offset* e é obtida pela expressão (8.96).

$$R_{ref} = \frac{R_i R_f}{R_i + R_f} \quad (8.96)$$

O pólo introduzido pelo compensador é destinado a compensar o zero introduzido pelo RSE do capacitor de filtragem.

b) Topologia de 2 pólos

O compensador de 2 pólos está representado na Fig. 8.21.

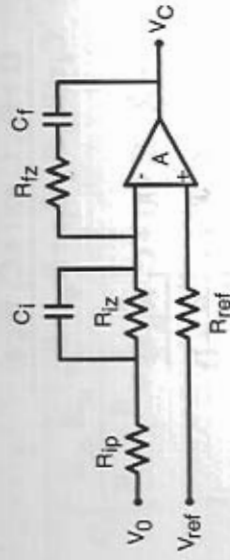


Fig. 8.21: Compensador de 2 pólos.

$$Z_f = R_{fz} + \frac{1}{sC_f} \quad (8.98)$$

$$Z_i = R_{ip} + \frac{R_{iz}/sC_i}{R_{iz} + \frac{1}{sC_i}} = \frac{R_{iz}}{sC_i} \frac{1}{(R_{iz} + \frac{1}{sC_i})} + R_{ip} \quad (8.99)$$

$$\frac{Z_f}{Z_i} = \frac{R_{fz} + 1/sC_f}{R_{ip} + \frac{R_{iz}}{sC_i} \left(\frac{1}{R_{iz} + 1/sC_i} \right)} \quad (8.100)$$

Assim:

$$\frac{Z_f}{Z_i} = \frac{R_{fz} + 1/sC_f}{R_{ip} + R_{iz} \left(\frac{1}{R_{iz} C_i s + 1} \right)} \quad (8.101)$$

$$\frac{V_C(s)}{V_o(s)} = \frac{(sC_f R_{fz} + 1)/sC_f}{(R_{ip} R_{iz} C_i s + R_{ip} + R_{iz})/(1 + R_{iz} C_i s)} \quad (8.102)$$

$$\frac{V_C(s)}{V_o(s)} = \frac{(1+R_{iz}C_1s)(1+C_fR_{fz}s)}{C_f s(R_{ip}R_{iz}C_1s + R_{ip} + R_{iz})} \quad (8.103)$$

$$\frac{V_C(s)}{V_o(s)} = \frac{(1+R_{iz}C_1s)(1+C_fR_{fz}s)}{C_f sR_{ip}(R_{iz}C_1s + \frac{R_{iz}}{R_{ip}} + 1)} \quad (8.104)$$

$$\frac{V_C(s)}{V_o(s)} = \frac{(1+R_{iz}C_1s)(1+C_fR_{fz}s)}{C_f sR_{ip}(R_{iz}C_1s + \frac{R_{iz} + R_{ip}}{R_{ip}})} \quad (8.105)$$

$$\frac{V_C(s)}{V_o(s)} = \frac{(1+R_{iz}C_1s)(1+C_fR_{fz}s)}{C_f sR_{ip}\left(\frac{R_{ip}R_{iz}}{R_{iz} + R_{ip}}C_1s + 1\right)\left(\frac{R_{iz} + R_{ip}}{R_{ip}}\right)} \quad (8.106)$$

$$\frac{V_C(s)}{V_o(s)} = \frac{(1+R_{iz}C_1s)(1+C_fR_{fz}s)}{\left[C_f s(R_{ip} + R_{iz})\left(1 + C_1s + \frac{R_{ip}R_{iz}}{R_{iz} + R_{ip}}\right)\right]} \quad (8.107)$$

A função transferência possui 2 zeros e 2 pólos nas seguintes frequências de transição:

$$\omega_{p1} = 0 \quad (8.108)$$

$$\omega_{z1} = \frac{1}{C_1 R_{iz}} \quad (8.109)$$

$$\omega_{p2} = \frac{1}{C_1 \left(\frac{R_{ip}R_{iz}}{R_{iz} + R_{ip}} \right)} \quad (8.110)$$

$$\omega_{z2} = \frac{1}{C_f R_{fz}} \quad (8.111)$$

ω_{p2} depende da associação em paralelo de R_{ip} com R_{iz} .

Assim:

$$f_{p1} = 0\text{Hz} \quad (8.112)$$

$$f_{z1} = \frac{1}{2\pi C_1 R_{iz}} \quad (8.113)$$

$$f_{p2} = \frac{1}{2\pi C_1 \left(\frac{R_{ip}R_{iz}}{R_{iz} + R_{ip}} \right)} \quad (8.114)$$

$$f_{z2} = \frac{1}{2\pi C_f R_{fz}} \quad (8.115)$$

Constata-se a existência de um pólo na origem.

Para $f \rightarrow 0$, o ganho estático teoricamente torna-se infinito; na realidade, nesses casos, o ganho do amplificador operacional compensado torna-se igual ao ganho em malha aberta do integrado PWM.

No caso do CI 3524 o ganho em malha aberta para $f \rightarrow 0$ é definido pelo resistor colocado no pino 9 contra a massa. Assim, para $R_9 = 30k\Omega$, o ganho em malha aberta é igual a 40dB.

Normalmente nos projetos torna-se $f_{z1} = f_{z2}$. Assim:

$$C_f R_{tz} = C_i R_{iz} \quad (8.116)$$

Para frequências maiores que f_{p2} os capacitores são curto-circuitos e o ganho é dado pela relação (8.117).

$$A_2 = \frac{R_{tz}}{R_{ip}} \quad (8.117)$$

Para $f_z = f_{z1} = f_{z2}$ o ganho é dado pela relação (8.118).

$$A_1 = \frac{R_{tz}}{R_{ip} + R_{iz}} \quad (8.118)$$

O compensador de 2 pólos é empregado nas fontes chaveadas com filtro de saída de 2 pólos, como as do tipo *Forward*, *Bridge*, *Half-Bridge* e *Push-Pull*.

O pólo 2 é sempre empregado para compensar o zero criado pela RSE do filtro de saída.

O pólo 1 na origem é empregado para assegurar um baixo erro estático da tensão de saída.

- Ganho em malha fechada do compensador ideal
 - Ganho do amplificador operacional real em malha aberta
 - Compensador real considerando o amplificador operacional ideal
- (dB)

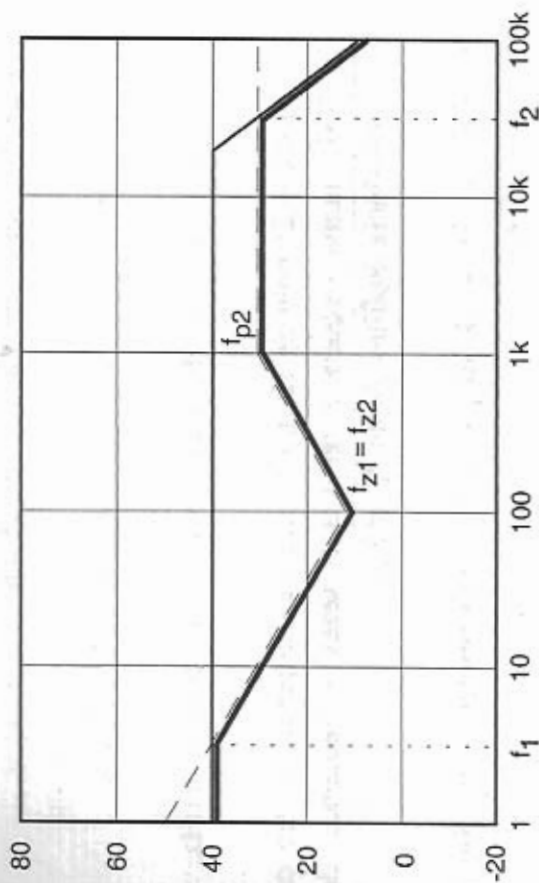


Fig. 8.22: Curva de ganho para o compensador de 2 pólos.

8.9 - Método prático para o cálculo do controlador de um conversor *Forward*

- 1º) Traçar o diagrama $G(s)$ em dB;
- 2º) Escolher a topologia do controlador. Recomenda-se o controlador de 2 pólos estudado neste capítulo;

3º) Definir a frequência f_c , na qual a curva da função $G(s)$ $H(s)$ passa por 0 dB. Recomenda-se $f_c \leq f_s/4$ sendo f_s a frequência de comutação;

4º) Determinar o ganho de $H(s)$ para $f = f_c$;

5º) Situar os dois zeros de $H(s)$ na frequência f_o do filtro;

6º) Situar o 1º pólo de $H(s)$ na origem (0 Hz). Assim $f_{p1} = 0\text{Hz}$;

7º) Situar o 2º pólo de $H(s)$, destinado a compensar o zero da RSE, numa frequência igual a 5 vezes a frequência de ressonância do filtro. Assim $f_{p1} = 5f_o$;

8º) Calcular H_1 e H_2 empregando o procedimento descrito a seguir (Fig. 8.23).

$$\text{Assim: } H_2 = A + 20 \log \frac{f_{p2}}{f_c} = 20 \log A_2$$

$$H_1 = A - 20 \log \frac{f_c}{f_o} = 20 \log A_1$$

9º) Calcular os valores dos resistores e capacitores do circuito de compensação.

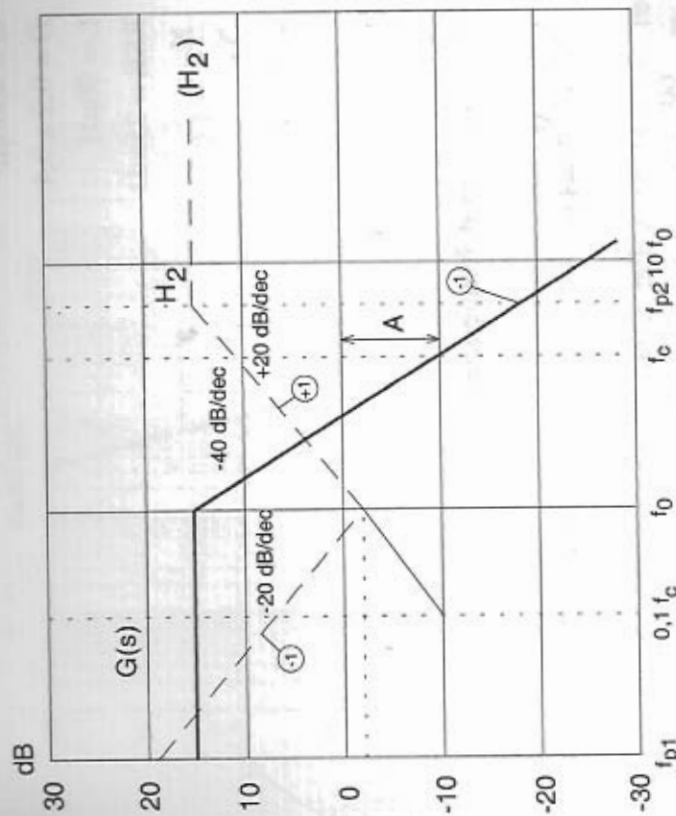


Fig. 8.23: Método de compensação do conversor Forward.

8.10 - Exemplo de Projeto

Seja um conversor Buck com as seguintes características:

$$V_{out} = 12V$$

$$P_{out} = 240W$$

$$f_s = 40kHz \rightarrow T = 25\mu s$$

$$V_{in} = 60V$$

$$I = 2A \text{ à } 20A$$

$$R_1 = 6\Omega \text{ a } 0,6\Omega$$

$$\begin{aligned}
 C &= 4000\mu\text{F} \\
 D &= 0,2 \text{ a } 0,4 \\
 L &= 60\mu\text{H} \\
 RSE &= 25\text{m}\Omega \\
 \frac{N_s}{N_p} &= 1,0 \\
 V_s &= 5,0\text{V}
 \end{aligned}$$

1º) Diagrama de $G(s)$

Ganho em baixas frequências

$$\frac{V_{\text{out}}}{V_C} = \frac{V_{\text{in}}}{V_s} = G$$

$$G = \frac{60}{5} = 12 \Rightarrow G = 21,6\text{dB}$$

Frequência de transição

$$f_0 = \frac{1}{2\pi\sqrt{LC}} = 325\text{Hz}$$

$$f_z = \frac{1}{2\pi C \cdot RSE} = 1590\text{Hz}$$

A função $G(s)$ está representada na Fig. 8.24.

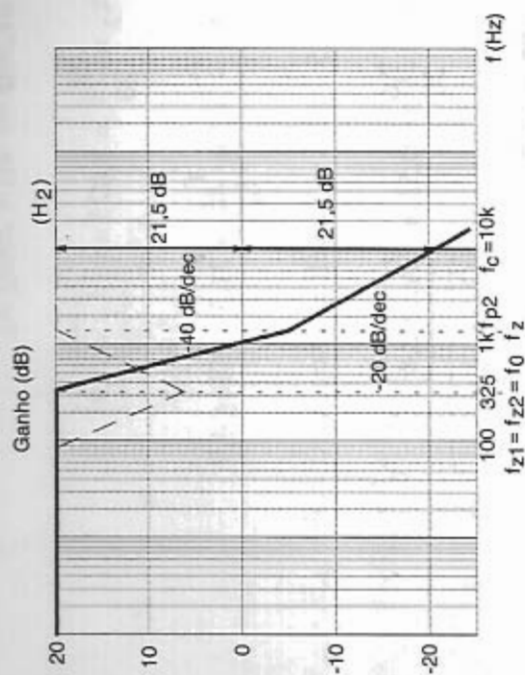


Fig. 8.24: Exemplo de Projeto de Compensador.

2º) A topologia do controlador é a de 2 pólos estabelecida neste capítulo.

$$3^\circ) f_c = \frac{f_s}{4} = 10\text{kHz}$$

4º) Para $f = 10\text{kHz}$, o ganho de $G(s)$ é de $-21,5\text{dB}$.

$$5^\circ) f_{z1} = f_{z2} = f_0 = 325\text{Hz}$$

$$6^\circ) f_{p1} = 0\text{Hz}$$

$$7^\circ) f_{p2} = 5f_0 = 1625\text{Hz}$$

$$8^{\text{a}}) H_2 = 21,5\text{dB} \Rightarrow H_2 = 20\log A_2$$

$$\log A_2 = \frac{H_2}{20} = 1,075 \Rightarrow \boxed{A_2 = 11,9}$$

$$H_1 = H_2 - 20\log \frac{f_{p2}}{f_0} = 21,5 - 20\log 4,9$$

$$H_1 = 21,5 - 13,8 = 7,68\text{dB} = 20\log A_1$$

$$\log A_1 = \frac{7,6}{20} = 0,58 \Rightarrow \boxed{A_1 = 2,4}$$

$$9^{\text{a}}) A_2 = \frac{R_{fz}}{R_{ip}} = 11,9$$

$$A_1 = \frac{R_{fz}}{R_{ip} + R_{iz}} = 2,4$$

$$f_{z1} = f_{z2} = \frac{1}{2\pi C_i R_{iz}} = 326\text{Hz} = \frac{1}{2\pi C_f R_{fz}}$$

$$f_{p2} = \frac{1}{2\pi C_i \left(\frac{R_{ip} R_{fz}}{R_{fz} + R_{ip}} \right)} = 1600\text{Hz}$$

$$\text{Seja } \boxed{R_{iz} = 47\text{k}}$$

$$C_i = \frac{1}{2\pi R_{iz} f_{z1}} \Rightarrow \boxed{C_i = 0,01\mu\text{F}}$$

Com as expressões dos ganhos:

$$\frac{R_{fz}}{R_{ip}} = 11,9 \quad \text{e} \quad \frac{R_{fz}}{R_{ip} + R_{iz}} = 2,4$$

Assim:

$$11,9 R_{ip} = (R_{ip} + R_{iz}) 2,4$$

$$11,9 R_{ip} - 2,4 R_{ip} = 2,4 R_{iz}$$

$$R_{ip} = \frac{2,4 R_{iz}}{9,5} \Rightarrow \boxed{R_{ip} = 11,87\text{k}\Omega}$$

$$\text{Assim: } \boxed{R_{fz} = 141\text{k}\Omega}$$

$$C_i R_{iz} = C_f R_{fz} \Rightarrow C_f = \frac{C_i R_{iz}}{R_{fz}}$$

$$C_f = \frac{0,01 \cdot 47}{141} \Rightarrow \boxed{C_f = 3,33\text{nF}}$$